
Comune di Belluno
 Provincia di Belluno

PAT
 Elaborato **d03 03 01** Scala **1:10000**

Carta Geomorfologica
 Tavola Nord

SINDACO
 Oscar De Pellegrin
Assessore
 Paolo Gattin
Segretario generale
 Francesco Pucci

UFFICIO DI PIANO
 Pierluigi Tomasi - Dirigente
 Michele Biondini - Responsabile area urbanistica
 Aquilino Chiosso
 Paola Bilo
 Zaira Diana
 Matteo Los Mazzoni
 Lucia Rascolotto

PROGETTO PAT
 Francesco Basso - Sistema s.r.l.
 Maria Fanes - Archibudo

Contributi al progetto
 Zaira Diana - Archibudo
 Martina Bertoldo - Sistema s.r.l.
 Pierluigi Tomasi - Sistema s.r.l.

Collaboratori
 Anna Gatti - Archibudo
 Matteo Gattin - Archibudo
 Corrado Colagrosso - Sistema s.r.l.

INFRASTRUTTURE E MOBILITÀ
 Dora De Zan - M&P s.p.a.

ANALISI GEOLOGICHE
 Andrea Tescaro - Studio Geo.Tec.

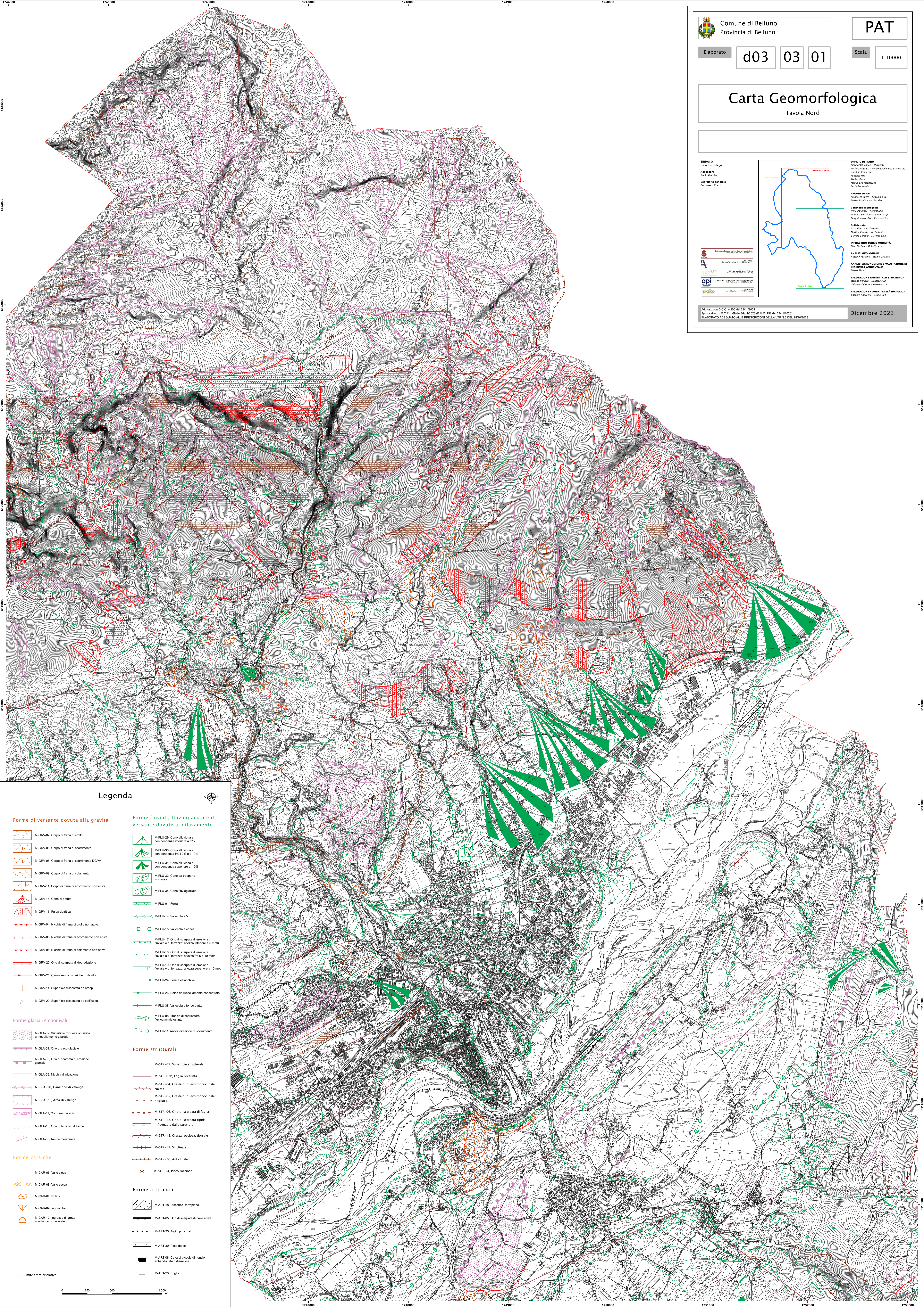
ANALISI AGRONOMICHE E VALUTAZIONE DI INQUILITÀ AMBIENTALE
 Marco Adorni

VALUTAZIONE AMBIENTALE STRATEGICA
 Daniele Anselmi - Habitat s.r.l.
 Gabriele Calabro - Anselmi s.r.l.

VALUTAZIONE COMPATIBILITÀ IDRAULICA
 Giuseppe Anselmi - Studio GPT

Adottato con D.C.C. n. 106 del 28/11/2021
 Approvato con D.C.P. n. 69 del 07/11/2023 (B.U.R. 152 del 24/11/2023)
 ELABORATO ADEGUATO ALLE PRESCRIZIONI DELLA VTP N.2 DEL 25/10/2023

Dicembre 2023



Legenda

Forme di versante dovute alla gravità

- M-GRV-07, Corpo di frana di colto
- M-GRV-08, Corpo di frana di scorrimento
- M-GRV-08, Corpo di frana di scorrimento DGPV
- M-GRV-09, Corpo di frana di colamento
- M-GRV-11, Corpo di frana di scorrimento non attiva
- M-GRV-15, Corpo di detrito
- M-GRV-16, Faccia detritica
- M-GRV-04, Nischia di frana di colto non attiva
- M-GRV-05, Nischia di frana di scorrimento non attiva
- M-GRV-06, Nischia di frana di colamento non attiva
- M-GRV-20, Orlo di scarpata di degradazione
- M-GRV-21, Canalone con scariche di detrito
- M-GRV-14, Superficie dissestata da creep
- M-GRV-22, Superficie dissestata da soffiuso

Forme glaciali e crionivali

- M-GLA-02, Superficie rocciosa ondulata a modellamento glaciale
- M-GLA-01, Orlo di circo glaciale
- M-GLA-03, Orlo di scarpata di erosione glaciale
- M-GLA-09, Nischia di rivazione
- M-GLA-10, Canalone di valanga
- M-GLA-21, Area di valanga
- M-GLA-11, Cordone morenico
- M-GLA-15, Orlo di terrazzo di lame
- M-GLA-05, Rocce monitole

Forme carsiche

- M-CAR-06, Valle cieca
- M-CAR-08, Valle secca
- M-CAR-02, Dolina
- M-CAR-09, Inghiottitoio
- M-CAR-12, Ingresso di grotta a sviluppo orizzontale

Forme fluviali, fluvio-glaciali e di versante dovute al dilavamento

- M-FLU-29, Coro alluvionale con pendenza inferiore al 2%
- M-FLU-30, Coro alluvionale con pendenza fra il 2% e il 10%
- M-FLU-31, Coro alluvionale con pendenza superiore al 10%
- M-FLU-32, Coro da trasporto in massa
- M-FLU-34, Coro fluvio-glaciale
- M-FLU-01, Foca
- M-FLU-14, Valtocca a V
- M-FLU-15, Valtocca a conca
- M-FLU-17, Orlo di scarpata di erosione fluviale o di terrazzo: altezza inferiore a 5 metri
- M-FLU-18, Orlo di scarpata di erosione fluviale o di terrazzo: altezza fra 5 e 10 metri
- M-FLU-19, Orlo di scarpata di erosione fluviale o di terrazzo: altezza superiore a 10 metri
- M-FLU-24, Forme calanchive
- M-FLU-26, Sico da ruscellamento concentrato
- M-FLU-38, Valtocca a forno piatto
- M-FLU-08, Traccia di scaricatore fluvio-glaciale estito
- M-FLU-11, Antica direzione di scorrimento

Forme strutturali

- M-STR-09, Superficie strutturale
- M-STR-02b, Faglia presunta
- M-STR-04, Cresta di rilievo monoclinale: cuneata
- M-STR-05, Cresta di rilievo monoclinale: hogback
- M-STR-06, Orlo di scarpata di faglia
- M-STR-12, Orlo di scarpata ripida influenzata dalla struttura
- M-STR-13, Cresta rocciosa, dorsale
- M-STR-19, Sindinale
- M-STR-20, Anticlinale
- M-STR-14, Pico roccioso

Forme artificiali

- M-ART-18, Discarica, terrapieno
- M-ART-05, Orlo di scarpata di cava attiva
- M-ART-25, Argini principali
- M-ART-30, Plata da sci
- M-ART-08, Cava di piccole dimensioni abbandonata o dismessata
- M-ART-23, Briglia

0 250 500 1000 metri